

IN 004

10) • longueur de fil bobiné :  $2(a+b)m$ .

masse correspondante :  $m = \pi \frac{d^2}{4} \rho \cdot 2n(a+b)$

$$\Rightarrow m = \pi \frac{d^2}{4} \rho n (a+b)$$

• moment d'inertie :

$$J = J(DE) + 2 J(AE)$$

$$J(AE) = \frac{1}{3} m_{AE} a^2 \quad \text{avec} \quad m_{AE} = \pi \frac{d^2}{4} \rho n a$$

$$J(DE) = m_{DE} a^2 \quad \text{avec} \quad m_{DE} = \pi \frac{d^2}{4} \rho n b$$

$$\Rightarrow J = \pi \frac{d^2}{4} \rho n a^2 \left( \frac{2a}{3} + b \right)$$

20) Système : A cadre de masse  $m$ .

Représentatif : terrestre galiléen

Forces : - poids en G.

- force de Laplace due au courant induit sur  $d\vec{l}$  :  $d\vec{F}_e = i d\vec{l} \wedge \vec{B}$

- réaction sur l'axe dont le moment sur  $\Delta$  est nul (pas de frottements).

Equation électrique :

$$\vec{E}_m = \int_n \vec{B}$$

sert d'un circuit dans  $\vec{B}$  permanent

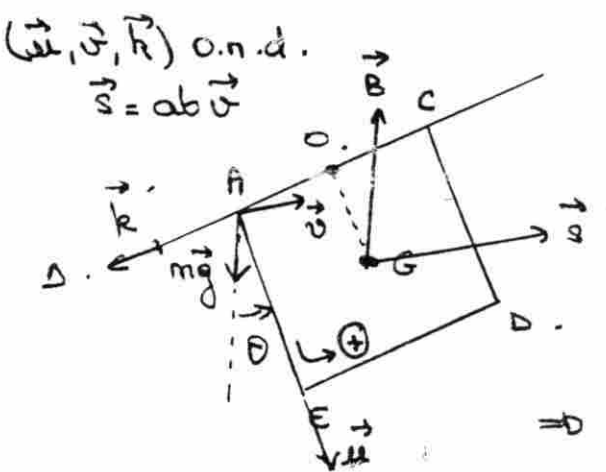
$$e \text{ force induite} = - \frac{d\phi}{dt}$$

$$\phi = \vec{B} \cdot \vec{S} = n a b B \sin \theta$$

via l'équation du circuit

$$\text{alors : } e = - n a b B \cos \theta \frac{d\theta}{dt}$$

$$\Rightarrow \text{courant induit } i = \frac{e}{R} = - \frac{n a b B \cos \theta}{R} \frac{d\theta}{dt}$$



Equation mécanique :

Pr. du moment cinétique au cadre en un point O /  $OG \perp \Delta$  :

$$\frac{d\vec{\sigma}_0}{dt} = \vec{\omega}_A \vec{m}_A^* + \vec{\Gamma} \text{ (Laplace) .}$$

Le tenseur des forces de Laplace est un couple ( $\vec{B}$  permanent) de moment  $\vec{\Gamma} = J \vec{\omega}_A \vec{B}$  avec  $\vec{\omega} = n \dot{\theta} \vec{e}_z$  moment magnétique du circuit

En projection sur  $\Delta$ : on a

$$\frac{d\sigma_\Delta}{dt} = J \ddot{\theta} = \frac{mga}{2} [\vec{u}_A (\cos \theta \vec{u}_- \sin \theta \vec{v})] \cdot \vec{k} + i(\vec{e}_z \vec{B}) \cdot \vec{k}$$

$$\Rightarrow J \ddot{\theta} = - \frac{mga}{2} \sin \theta + B i a b n (\vec{v}_A (-\cos \theta \vec{u} + \sin \theta \vec{v})) \cdot \vec{k}$$

$$\Rightarrow J \ddot{\theta} = - \frac{mga}{2} \sin \theta + a b n i B \cos \theta$$

$$\Rightarrow \boxed{J \ddot{\theta} = - \frac{mga}{2} \sin \theta - \frac{a^2 b^2 n^2 B^2}{R} \cos^2 \theta \dot{\theta}}$$

Pour  $\theta$  petit:  $\sin \theta \approx \theta$   $\cos \theta \approx 1$

$$\Rightarrow \boxed{J \ddot{\theta} + \frac{a^2 b^2 n^2 B^2}{R} \dot{\theta} + \frac{mga}{2} \theta = 0}$$

équation d'un oscillateur amorti par frottement fluide

3) Il y a des oscillations si régime pseudopériodique

$\Rightarrow \Delta$  de l'eq. caractéristique  $< 0$ .

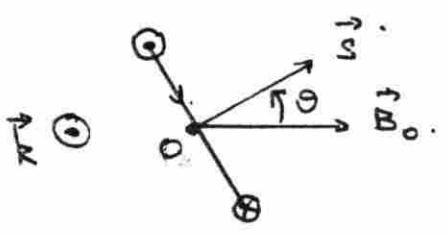
$$J x^2 + \frac{a^2 b^2 n^2 B^2}{R} x + \frac{mga}{2} = 0 .$$

$$\Rightarrow \Delta = \left[ \frac{a^2 b^2 n^2 B^2}{R} \right]^2 - 2 J m g a < 0 .$$

$$\Rightarrow \boxed{B < \frac{\sqrt{R} (2 J m g a)^{1/4}}{m a b .}}$$

IN 002

vue de dessus:



$\theta$  angle que fait  $(A B C)$  avec  $\vec{B}_0$ .

$\theta + \frac{\pi}{2}$  angle que fait  $(A' B' C')$  avec  $\vec{B}_0$

- Spire ABCD: surv dans  $\vec{B}$  permanent  $\rightarrow$  fem induite  $\mathcal{E}$   
( $\vec{e}_m = \vec{J}_n \vec{B}$ ),  $e = -\frac{d\phi}{dt}$  avec  $\phi = \vec{B} \cdot \vec{S}$

Soit:  $\phi = BS \cos \theta \Rightarrow e = -BS \dot{\theta} \sin \theta$ .

$\rightarrow$  courant induit  $i = -\frac{BS}{r} \dot{\theta} \sin \theta$ .

- Spire A'B'C'D' courant induit  $i' = -\frac{BS}{r} \dot{\theta} \cos \theta$

Les spires sont alors soumises au couple de Laplace de moment  $\vec{\Gamma} = i \vec{S} \wedge \vec{B}_0$ . ( $\vec{B}_0$  uniforme).

$$\vec{\Gamma}' = i' \vec{S}' \wedge \vec{B}_0$$

$$\vec{\Gamma} = -i S B_0 \sin \theta \vec{k}$$

$$\vec{\Gamma}' = -i' S B_0 \cos \theta \vec{k}$$

$$\Rightarrow \vec{\Gamma}_{\text{tot}} = -\frac{B_0^2 S^2}{r} \dot{\theta} (\sin^2 \theta + \cos^2 \theta) \vec{k}$$

$$\Rightarrow \boxed{\vec{\Gamma}_{\text{tot}} = -\frac{B_0^2 S^2}{r} \dot{\theta} \vec{k}}$$

- Evolution du système: équation mécanique

$$\frac{d\vec{p}_0}{dt} = \vec{J}_0(\vec{g}_{\text{ext}})$$

- système: les 2 cadres (solides)
- forces:
  - poids (moment nul)
  - force de Laplace  $\vec{\Gamma}_{\text{tot}}$
  - actions sur l'axe (sans frottement)

en projection sur  $\Delta$ :

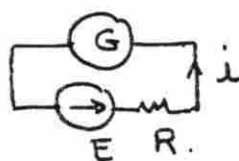
$$\boxed{J\ddot{\theta} = -\frac{B_0^2 S^2}{r} \dot{\theta}}$$

en posant  $\tau = \frac{Jr}{B_0^2 S^2}$

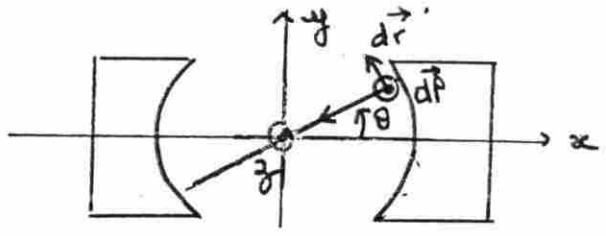
on a:  $\boxed{\omega(t) = \omega_0 e^{-t/\tau}}$

**IN 003** Galvanomètre

10)



- 1) Volt du cadre (conducteur glissant) dans  $\vec{B}$  permanent: fem induite  $e = -\frac{d\phi}{dt}$



flux coupé de  $\vec{B}$  lors d'une rotation de  $d\theta$ :

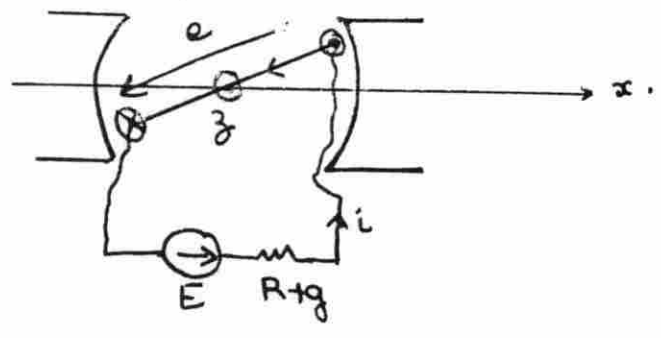
$$d\phi_2 = N\vec{B} \cdot (d\vec{r}_1 \wedge d\vec{l}) = + NabB d\theta = d\phi \text{ car } \vec{B} \text{ permanent}$$

$$\Rightarrow e = -\frac{d\phi}{dt} = -NSB \frac{d\theta}{dt} \Rightarrow \boxed{e = -\dot{\phi}_0}$$

équation électrique :

$$E - (R + r_g)i + e = 0.$$

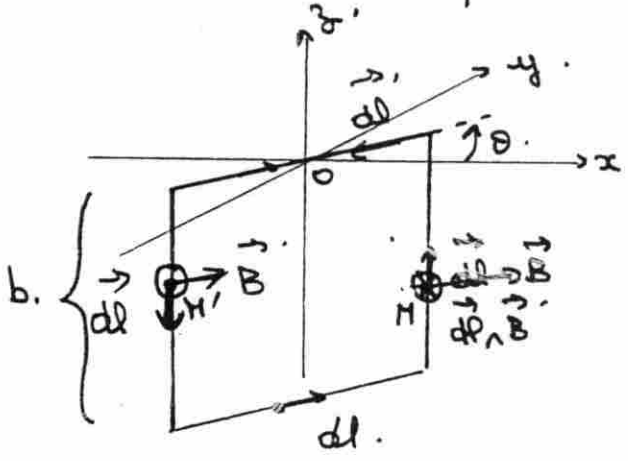
$$\Rightarrow i = \frac{E - \dot{\phi}_0}{R + r_g}.$$



**b)** Equation mécanique :

rotation /  $oz$  :  $\Gamma_{oz} = J\ddot{\theta}$

- forces: force de rappel de couple  $C\theta \vec{u}_z$
- force de Laplace  $d\vec{F} = i d\vec{l} \wedge \vec{B}$



- sur les côtés horizontaux :

$$d\vec{l} \parallel \vec{B} \text{ radial} \Rightarrow d\vec{F} = \vec{0}.$$

- sur les côtés verticaux :

$$d\vec{l} \wedge \vec{B} \neq \vec{0} \text{ fait tourner le cadre}$$

moment en O de ces forces :

$$d\vec{\Gamma}_O = Ni [(\vec{u}_z \wedge \vec{B}) \wedge \vec{OM} - \vec{OM}' \wedge (\vec{u}_z \wedge \vec{B})]$$

$$= Ni [\vec{OM} \wedge (\vec{u}_z \wedge \vec{B}) - \vec{OM}' \wedge (\vec{u}_z \wedge \vec{B})]$$

$$\Rightarrow \Gamma_z = i \left( \frac{abN}{2} \right) B \Rightarrow \Gamma_z = \underbrace{abNB}_{\phi_0} \frac{E - \dot{\phi}_0}{R + r_g} = i\phi_0.$$

$$\Rightarrow \boxed{J\ddot{\theta} + C\theta = i\phi_0}$$

c) Le galvanomètre transforme un courant en rotation (3)  
 du cadre  $\rightarrow$  transducteur électromécanique

Bilan énergétique :  $E - (R+g)i + e = 0$ .  
 $Ei - (R+g)i^2 = -ei = \phi_0 \dot{\theta} i$

et  $J\ddot{\theta} + \frac{\phi_0^2}{R+g} \dot{\theta}^2 + c\theta\dot{\theta} = \frac{\phi_0 E}{R+g} \dot{\theta}$

$\frac{d}{dt} \left( \frac{1}{2} J \dot{\theta}^2 \right) + \frac{d}{dt} \left( \frac{1}{2} c \theta^2 \right) = \phi_0 \frac{E+e}{R+g} \dot{\theta} = i \phi_0 \dot{\theta}$

soit :  $\frac{d}{dt} \left( \frac{1}{2} J \dot{\theta}^2 + \frac{1}{2} c \theta^2 \right) = -ei = Ei - (R+g)i^2$ .

soit :  $Ei = \frac{d}{dt} \left( \frac{1}{2} J \dot{\theta}^2 + \frac{1}{2} c \theta^2 \right) + (R+g)i^2$ .

↑  
 puissance fournie  
 par le circuit  
 extérieur

↑  
 variation  
 d'Ec par  
 unité de  
 temps

↑  
 variation  
 d'Ep élastique  
 par unité  
 de temps

↑  
 puissance  
 dissipée  
 par effet  
 Joule.

20)  $J\ddot{\theta} + \frac{\phi_0^2}{R+g} \dot{\theta} + c\theta = \frac{\phi_0 E}{R+g}$

analogie flott. fluide  $\rightarrow$  loi de Lenz.  
 (moment  $m = -d \dot{\theta}$   $d = ct > 0$ )

30) Equation caractéristique :

$Jx^2 + \frac{\phi_0^2}{R+g} x + c = 0$ .

$\Delta = \left( \frac{\phi_0^2}{R+g} \right)^2 - 4cJ$

- si  $\Delta > 0$  : cad si  $R < \frac{\phi_0^2}{2\sqrt{Jc}} - g$  alors aucune oscillation  $\rightarrow$  régime aperiodique
- si  $\Delta < 0$  : cad si  $R > R_c = \frac{\phi_0^2}{2\sqrt{Jc}} - g \rightarrow$  régime pseudo-sinusoïdal amorti
- si  $\Delta = 0$  : cad si  $R = R_c \rightarrow$  régime critique

$$R'_c = R_c + r_g = \frac{\phi_0^2}{2\sqrt{Jc}}$$

Utilisation pratique du galvan:  $R = R_c$ .

c'est là que  $\theta$  atteint le plus rapidement la valeur en régime permanent:  $\theta_0 = \frac{I\phi_0}{c}$ .

$$10) \cdot R_c = \frac{\phi_0^2}{2\sqrt{Jc}} - g = 485 \Omega \Rightarrow \frac{\phi_0^2}{\sqrt{Jc}} = 10^3 (\Omega) = 2R'_c$$

$$\frac{\phi_0}{c} = \frac{\theta_0}{I} = 10^{-6} A \Rightarrow c = \frac{\phi_0 I}{\theta_0}$$

période:  $T_0$  en circuit ouvert:  $T_0 = \frac{2\pi}{\omega_0} = 2\pi\sqrt{\frac{J}{c}}$

$$\Rightarrow \frac{J}{c} = \left(\frac{T_0}{2\pi}\right)^2 \Rightarrow J = \frac{T_0^2}{4\pi^2} \times \frac{I\phi_0}{\theta_0}$$

alors:  $\phi_0^2 = 2R'_c \frac{T_0}{2\pi} \cdot \sqrt{\frac{I}{\theta_0}} \sqrt{\phi_0} \cdot \sqrt{\frac{I}{\theta_0}} \sqrt{\phi_0} = \frac{2R'_c I T_0}{\theta_0} \phi_0$

$$\Rightarrow B = \frac{R'_c I T_0}{\pi \theta_0} \frac{1}{NS}$$

$$\Rightarrow B = \frac{\phi_0}{NS}$$

soit  $B = 83,3 \text{ mT}$

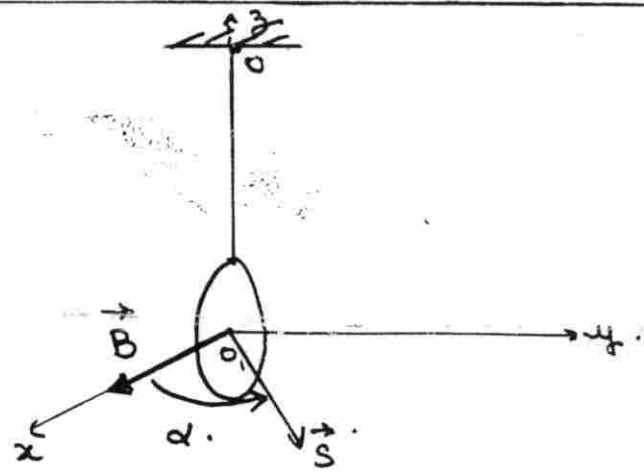
alors:  $c = \frac{R'_c I^2 T_0}{\pi \theta_0^2}$

$$\Rightarrow c = 5,4 \cdot 10^{-6} \text{ N.m.rad}^{-1}$$

$$J = \frac{I^2 T_0^3 R'_c}{4\pi^3 \theta_0^2}$$

$$J = 1,25 \cdot 10^{-6} \text{ kg.m}^2$$

IN 006



10) Mt de la spire dans  $\vec{B}$  permanent et uniforme:

$\vec{E}_m = \vec{v}_n \wedge \vec{B}$  champ électromoteur induit

$e = - \frac{d\phi}{dt}$  avec  $\phi = \vec{B} \cdot \vec{S} = BS \cos \alpha$

et  $e = +BS \sin d \frac{dd}{dt}$

alors  $i$  induit:  $i = \frac{e}{R} = \frac{BS}{R} \dot{d} \sin d$ .

Equation mécanique:  $\sum \vec{M}_{O_1} = J \ddot{d}$  (système: la spire).

• forces: poids  $\vec{M}_{O_1}(\vec{P}) = \vec{0}$

tension du fil:  $\vec{M}_{O_1}(\vec{T}) = \vec{0}$

force de Laplace:  $\vec{M}_{O_1}(\vec{B}) = i \vec{S}_n \wedge \vec{B} = -BSi \sin d \vec{u}_z$

• équation:  $(\vec{M}_{O_1}(\vec{B})) = J \ddot{d} \vec{u}_z$

$$\Rightarrow \boxed{J \ddot{d} = -\frac{B^2 S^2}{R} \dot{d} \sin^2 d}$$

soit:  $\ddot{d} = -\frac{B^2 \pi^2 a^4}{R} \frac{2}{Ma^2} \dot{d} \sin^2 d = -\frac{B^2 \pi^2 a^2}{MR} \dot{d} (1 - \cos 2d)$ .

on intègre par rapport à  $t$ :

$$\dot{d}(t) - \dot{d}(0) = -\frac{B^2 \pi^2 a^2}{MR} \left[ d - \frac{1}{2} \sin 2d \right]_0^t$$

$$\Rightarrow \boxed{\dot{d} = \dot{d}_0 - \frac{B^2 \pi^2 a^2}{MR} \left[ d(t) - \frac{1}{2} \sin 2d \right]}$$

lorsque la spire s'arrête:  $\dot{d} = 0$ . alors  $d_f$  vérifie

$$\boxed{d_f - \frac{1}{2} \sin 2d_f = \frac{\dot{d}_0 MR}{B^2 \pi^2 a^2}}$$

3°)  $u = 2d_f$  vérifie  $u - \sin u = \frac{2\dot{d}_0 MR}{B^2 \pi^2 a^2}$

la fonction  $u - \sin u$  est croissante car si  $f(u) = u - \sin u$   
et  $f'(u) = 1 - \cos u \geq 0$ .

donc monotone et donc  $\exists$  une seule valeur de  $u$   
correspondant à  $f(u) = \frac{2\dot{d}_0 MR}{B^2 \pi^2 a^2}$ .

Pour  $d_f = \frac{\pi}{2}$ :  $\frac{\dot{d}_0 MR}{B^2 \pi^2 a^2} = \frac{\pi}{2} \Rightarrow \boxed{B = \sqrt{\frac{2\dot{d}_0 MR}{\pi^3 a^2}}} \quad \underline{\underline{B = 0,11 T}}$

4°) Puissance dissipée par effet Joule:

$$P_J = Ri^2 = B^2 s^2 R \dot{d}^2 \sin^2 d$$

$$W_J = \int_0^{t_f} Ri^2 dt = B^2 s^2 R \int_0^{t_f} \dot{d}^2 \sin^2 d dt$$

$$\text{or } \dot{d} \sin^2 d = -\frac{MR}{2B^2 \pi^2 a^2} \quad \text{d'où } W_J = -\frac{B^2 \pi^2 a^4 R}{2B^2 \pi^2 a^2} MR \int_0^{t_f} \left(\frac{dd}{dt}\right) dt$$

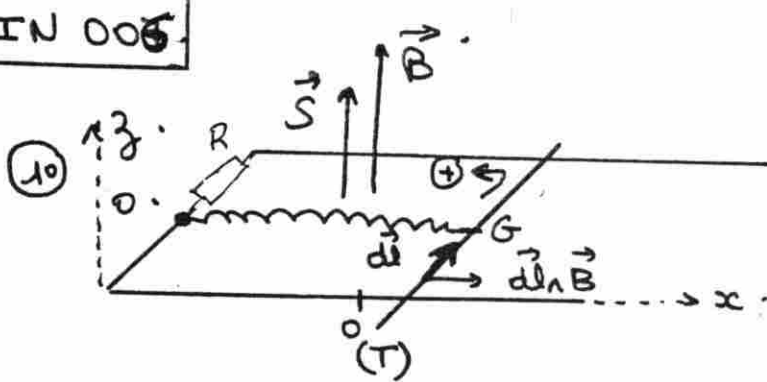
$$\text{soit: } W_J = -\frac{\cancel{B^2} \cancel{\pi^2} \cancel{a^4} MR^2}{\cancel{2B^2} \cancel{\pi^2} \cancel{a^2}} dy = -\boxed{\frac{MR^2}{2a^2} \frac{\pi}{2}}$$

$$Re = Ri^2 = B s d \sin d \dot{d}$$
  
$$\text{et } J \ddot{d} = -B s \dot{d} \sin d$$

$$\Rightarrow J \ddot{d} = -Ri^2 \Rightarrow \boxed{-Ri^2 = \frac{d}{dt} \left(\frac{1}{2} J \dot{d}^2\right)}$$

la puissance perdue par effet Joule est la variation d'énergie cinétique de rotation.





- a) on prend comme origine des  $x$  la position de la tige pour que le ressort soit non tendu (soit  $OG = l_0$  longueur à vide du ressort).

système: la tige

équation électrique: un  $\vec{B}$  permanent  $\rightarrow$  force  
induite  $e = -\frac{d\phi}{dt}$  avec  $\phi = \vec{B} \cdot \vec{S}$

$$\vec{S} \cdot \vec{B} = B(x_0 + x)l \quad \text{d'où :} \quad e = -Blv = -Bl \left( \frac{dx}{dt} \right)$$

$\Rightarrow$   $i$  parcourt la tige :

$$i = \frac{e}{R'} = -\frac{Bl}{R'} \dot{x}$$

avec  $R' = R + r$ .

équation mécanique:

forces: - poids + réaction des rails :  $\vec{P} + \vec{R} = 0$

(en proj sur  $\vec{z}$ )

- force de Laplace :  $d\vec{F}_e = i dl_n \vec{B}$

$$i dl_n \vec{B} = i B dl \vec{u}_x$$

$$\Rightarrow \vec{F}_e = iBl \vec{u}_x$$

- force de rappel du ressort :  $\vec{F}_r = -kx \vec{u}_x$

h. de la résultante cinétique à la tige :

$$m \frac{d^2x}{dt^2} = +iBl - kx = -\frac{B^2 l^2}{R'} \dot{x} - kx$$

soit : 
$$\ddot{x} + \frac{B^2 l^2}{mR'} \dot{x} + \frac{k}{m} x = 0$$

oscillateur amorti par frottement fluide

- b) Retrouve le plus rapide à  $x=0$  pour  $\Delta$  de l'éq. caract. = 0 (cas critique).

Flow : 
$$\left( \frac{B^2 l^2}{mR'} \right)^2 - 4 \frac{k}{m} = 0 \Rightarrow$$

$$R = \frac{B^2 l^2}{2m\omega_0} - r$$

avec  $\omega_0 = \sqrt{\frac{k}{m}}$

Alors un  $\gamma$  aperiodeique critique :

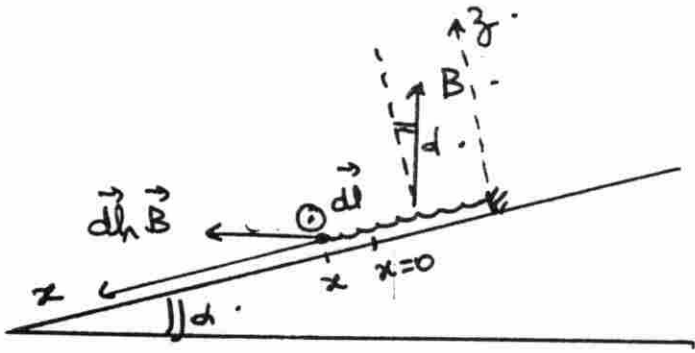
$$x(t) = (A+Bt) e^{-t/\tau} \quad \text{avec } \tau = \sqrt{\frac{3}{\pi}}$$

à  $t=0$  :  $x(0) = a = A$

$$\dot{x}(0) = 0 = B - \frac{A}{\tau} \quad \Rightarrow \quad B = \frac{A}{\tau}$$

$$\Rightarrow x(t) = a \left( 1 + \sqrt{\frac{\pi}{3}} t \right) e^{-\sqrt{\frac{\pi}{3}} t}$$

2°



Aux forces précédentes, il faut rajouter la composante du poids selon  $x$  et changer la force de Laplace :

- $B$  devient  $B \cos \alpha$  pour le calcul de  $\phi$
- $(d\vec{l} \wedge \vec{B}) \cdot \vec{u}_x = B dl \cos \alpha$

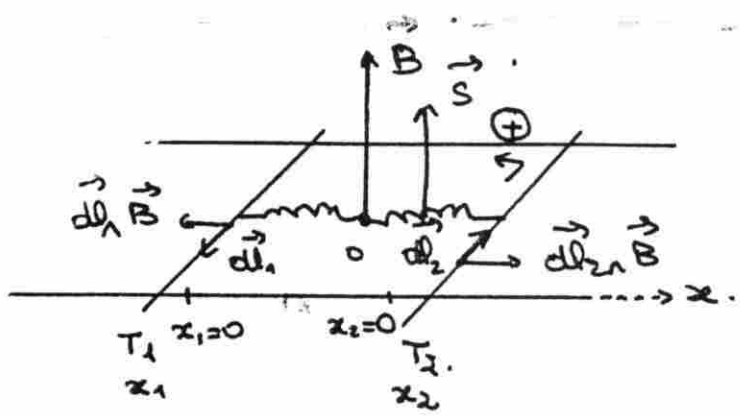
D'où  $e = -B l \cos \alpha \dot{x}$  et  $\dot{x} = -\frac{B l}{R'} \cos \alpha \dot{x}$

ou bien :  $m \ddot{x} = -\frac{B^2 l^2}{R'^2} \cos^2 \alpha \dot{x} - kx$

$$\Rightarrow \ddot{x} + \frac{B^2 l^2}{m R'^2} \cos^2 \alpha \dot{x} + \frac{k}{m} x = 0$$

Réguie critique :  $R'_0 = \frac{B^2 l^2 \cos^2 \alpha}{2 m \omega_0} = r$

3°



$x_1$  et  $x_2$  pris / à la position à vide des 2 rails.

- équation électrique :  $e = - \frac{d\phi}{dt}$  (6)

$$\phi = B\ell(x_2 - x_1) \Rightarrow e = -B\ell(v_2 - v_1) = -B\ell(\dot{x}_2 - \dot{x}_1) \Rightarrow i = \frac{-B\ell}{2R_1}(\dot{x}_2 - \dot{x}_1)$$

- équations mécaniques :

pour (T<sub>1</sub>) : - forces :  $\vec{P} + \vec{R}_1$  se compensent

$$\cdot d\vec{F}_{1e} = i d\vec{l}_1 \wedge \vec{B} \quad d\vec{l}_1 \wedge \vec{B} = -B dl \vec{u}_x$$

$$\cdot \text{force de rappel du ressort} \quad \vec{F}_{r1} = -kx_1 \vec{u}_x$$

$$\Rightarrow m\ddot{x}_1 = -kx_1 - iB\ell = -kx_1 + \frac{B^2\ell^2}{2R_1}(\dot{x}_2 - \dot{x}_1) \quad (1)$$

pour (T<sub>2</sub>) : forces  $\vec{P} + \vec{R}_2$  se compensent

$$\cdot d\vec{F}_{2e} = i d\vec{l}_2 \wedge \vec{B} = iB dl \vec{u}_x$$

$$\cdot \text{force de rappel du ressort} \quad \vec{F}_{r2} = -kx_2 \vec{u}_x$$

$$\Rightarrow m\ddot{x}_2 = -kx_2 + \frac{B^2\ell^2}{2R_1}(\dot{x}_2 - \dot{x}_1) \quad (2)$$

$$(1) + (2) \Rightarrow m(\ddot{x}_1 + \ddot{x}_2) + k(x_1 + x_2) = 0$$

si  $X = x_1 + x_2$  on a  $\ddot{X} + \omega_0^2 X = 0$  avec  $\omega_0 = \sqrt{\frac{k}{m}}$

soit  $X = A \cos(\omega_0 t + \varphi)$

$$\text{à } t=0 : \begin{cases} x_1 = a \\ x_2 = 0 \end{cases} \Rightarrow X_0 = a = A \quad \left. \begin{matrix} \dot{x}_1 = 0 \\ \dot{x}_2 = 0 \end{matrix} \right\} \omega_0 \varphi \Rightarrow \dot{X}_0 = 0 = -A\omega_0 \sin \varphi \Rightarrow \varphi = 0$$

$$\Rightarrow \underline{x_1 + x_2 = a \cos \omega_0 t}$$

$$(1) - (2) \Rightarrow m\ddot{Y} + \frac{B^2\ell^2}{2R_1}\dot{Y} + kY = 0 \quad \text{avec } Y = x_1 - x_2$$

si  $R_1 > \frac{B^2\ell^2}{4km}$  alors :  $\Delta = \left(\frac{B^2\ell^2}{2R_1}\right)^2 - 4km < 0$

D'où : solutions de l'éq. caractéristique :

$$-\frac{B^2\ell^2}{2mR_1} \pm \frac{1}{2m} \sqrt{4km - \left(\frac{B^2\ell^2}{2R_1}\right)^2} = -\frac{1}{\tau} \pm i\Omega$$

avec  $\Omega = \sqrt{\frac{k}{m} - \left(\frac{B^2\ell^2}{4mR_1}\right)^2}$

D'où  $Y(t) = e^{-t/\tau} [A \cos \omega t + B \sin \omega t]$ . (6b)

à  $t=0$ :  $Y = a = A$

$\dot{Y} = 0 = -\frac{1}{\tau} A + B \omega \Rightarrow B = \frac{a}{\omega \tau}$ .

$\Rightarrow x_1 - x_2 = a e^{-t/\tau} \left( \cos \omega t + \frac{1}{\omega \tau} \sin \omega t \right)$ .

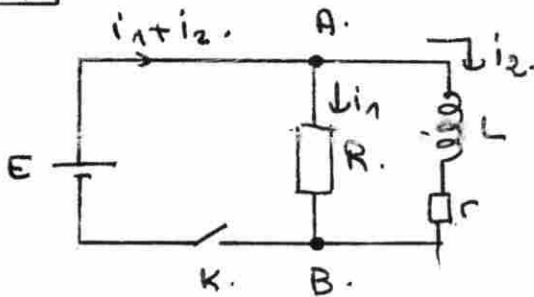
ce qui donne:

$$x_1(t) = \frac{a}{2} \left[ \cos \omega_0 t + e^{-t/\tau} \left( \cos \omega t + \frac{1}{\omega \tau} \sin \omega t \right) \right].$$

$$x_2(t) = \frac{a}{2} \left[ \cos \omega_0 t - e^{-t/\tau} \left( \cos \omega t + \frac{1}{\omega \tau} \sin \omega t \right) \right].$$

avec  $\omega_0 = \sqrt{\frac{k}{m}}$      $1/\tau = \frac{B^2 \omega^2}{2mR_1}$     et  $\omega = \sqrt{\frac{k}{m} - \left(\frac{B^2 \omega^2}{4mR_1}\right)^2}$

IN 007



(10) Fermeture de  $\kappa$ : variation de  $i(t)$  dans  $L$

$\Rightarrow$  fem induite par variation de  $\vec{B}$  crée par la bobine dans le circuit lui-même.

$e = -L \frac{di_2}{dt}$  fem induite

$$\text{D'où } Y(t) = e^{-t/\zeta} [A \cos \Omega t + B \sin \Omega t].$$

(6b)

$$\text{à } t=0: Y = a = A$$

$$\dot{Y} = 0 = -\frac{1}{\zeta} A + B \Omega \Rightarrow B = \frac{a}{\Omega \zeta}.$$

$$\Rightarrow x_1 - x_2 = a e^{-t/\zeta} \left( \cos \Omega t + \frac{1}{\Omega \zeta} \sin \Omega t \right).$$

ce qui donne:

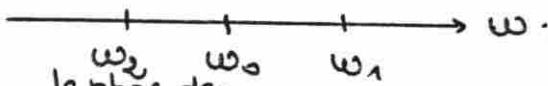
$$x_1(t) = \frac{a}{2} \left[ \cos \omega_0 t + e^{-t/\zeta} \left( \cos \Omega t + \frac{1}{\Omega \zeta} \sin \Omega t \right) \right].$$

$$x_2(t) = \frac{a}{2} \left[ \cos \omega_0 t - e^{-t/\zeta} \left( \cos \Omega t + \frac{1}{\Omega \zeta} \sin \Omega t \right) \right].$$

$$\text{avec } \omega_0 = \sqrt{\frac{k}{m}} \quad 1/\zeta = \frac{B^2 \rho^2}{2mR_1} \quad \text{et } \Omega = \sqrt{\frac{k}{m} - \left( \frac{B^2 \rho^2}{4mR_1} \right)^2}$$

$$\Rightarrow \varphi_1(t) = \frac{\omega_0}{2} [\cos \omega_2 t + \cos \omega_1 t]$$

$$\varphi_2(t) = \frac{\omega_0}{2} [-\cos \omega_2 t + \cos \omega_1 t]$$

si  $M > 0$  on a: 

Le couplage double  $\checkmark$  fréquences propres et les écarts de la fréquence propre des systèmes non couplés.

IN 008

$$\textcircled{10} \quad \Phi_{1 \rightarrow 2} = \iint_{S_2} \vec{B}_1 \cdot d\vec{S}$$

( $S_2$ ) s'appuie sur  $Oz$  et est un plan allant  $\rightarrow \infty$  ( $z$  fermé à l' $\infty$ ).

$$\Phi_{1 \rightarrow 2} = \frac{\mu_0 N I}{2\pi} \int_{b-a}^{b+a} \frac{dr \cdot 2a}{r} \Rightarrow \boxed{\Phi_{1 \rightarrow 2} = \frac{\mu_0 N I a}{\pi} \ln \frac{b+a}{b-a}}$$

$$\Phi_{2 \rightarrow 1} = \iint_{S_1} \vec{B}_2 \cdot d\vec{S} = N \iint_{S_{spira}} \vec{B}_2 \cdot d\vec{S} = N \frac{\mu_0 I'}{2\pi} \int_{b-a}^{b+a} \frac{2a dr}{r}$$

$$\Rightarrow \boxed{\Phi_{2 \rightarrow 1} = \frac{\mu_0 N I' \cdot 2a}{2\pi} \ln \frac{b+a}{b-a}}$$

$$\textcircled{20} \quad \Phi_{1 \rightarrow 2} = M_{1 \rightarrow 2} I \quad \Phi_{2 \rightarrow 1} = M_{2 \rightarrow 1} I'$$

$$\text{on a bien} \quad \boxed{M_{1 \rightarrow 2} = M_{2 \rightarrow 1} = M = \frac{\mu_0 N a}{\pi} \ln \frac{b+a}{b-a}}$$

$\textcircled{30}$

a)  $e = - \frac{d\Phi}{dt} = - \frac{d\Phi_{2 \rightarrow 1}}{dt}$  si on néglige la self des bobinages

$$e = - M \frac{dI'}{dt} \Rightarrow \boxed{e = M I_0 \omega \sin \omega t} \quad \text{d'où} \quad \boxed{e_0 = M I_0 \omega}$$

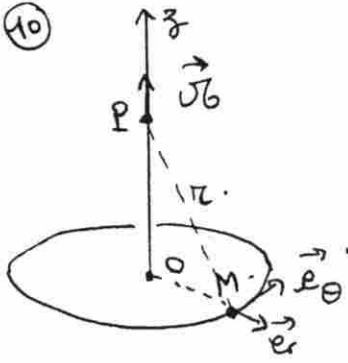
b) La mesure de  $e_0$  permet d'atteindre  $I_0 \rightarrow$  ampèremètre

c)  $e_0 = M \omega I_0 \Rightarrow \boxed{I_{min} = \frac{e_{min}}{M \omega} \# 10^{-4} A}$   $N = 500$  spires  
 $a = 10$  cm.  
 $b = 20$  cm.  
 $\omega = 100\pi$  s $^{-1}$

$M = 22 \mu H$  très faible.

si on rajoute noyau en ferite:  $\mu = 4000 \# 1000 \mu_0 \Rightarrow M' = 22 mH$

⑩



$\vec{J}_0$  varie dans le temps  $\Rightarrow \vec{A}$  et  $\vec{B}$  créés par  $\vec{J}_0$  aussi : cas d'induction de Neumann :  $\vec{E}_m = - \frac{d\vec{A}}{dt}$

Mais comme le cercle est isolé, il n'y a aucun courant induit qui circule.

En revanche, le cercle chargé est soumis aux forces électriques dues à  $\vec{E}_m$  qui est  $\perp$  à  $\vec{e}_z$  et  $\vec{r}$  donc qui tend à faire tourner le cercle.

$$\textcircled{20} \quad \vec{A} = \frac{\mu_0}{4\pi} \frac{\vec{J}_0 \wedge \vec{r}}{r^3} \quad \vec{E}_m = - \frac{\mu_0}{4\pi} \frac{d\vec{J}_0}{dt} \wedge \frac{\vec{r}}{r^3}$$

$$\vec{r} = \vec{PM} = \vec{PO} + \vec{OM}$$

$$\vec{E}_m = - \frac{\mu_0}{4\pi} \left( \frac{d\vec{J}_0}{dt} \right) \wedge \frac{\vec{e}_\theta}{r^2} \quad \vec{J}_0 = i(t) \pi \rho^2 \vec{e}_z$$

$$\Rightarrow \vec{E}_m = - \frac{\mu_0}{4\pi} \pi \rho^2 \left( \frac{di}{dt} \right) \vec{e}_\theta / r^2$$

force exercée sur une elt dl :  $d\vec{F} = -\frac{q}{2\pi a} dl \frac{\mu_0 \rho^2}{4} \left( \frac{di}{dt} \right) \frac{\vec{e}_\theta}{a^2}$

$$\frac{di}{dt} = \frac{I}{\tau} \Rightarrow d\vec{F} = -\frac{q I \mu_0 \rho^2}{4 \pi a^3 \tau} \vec{e}_\theta dl$$

Moment en O de cette force :  $\vec{\Gamma} = \oint_C \vec{OM} \wedge d\vec{F} = -\frac{q I \mu_0 \rho^2}{2 \times 4 \pi a^3 \tau} a \cdot 2\pi a \vec{e}_z$

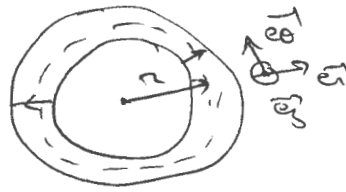
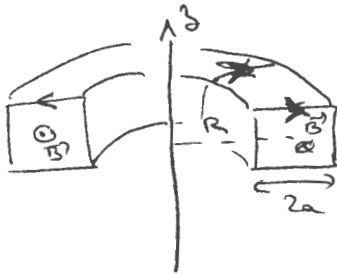
$$\Rightarrow \vec{\Gamma} = -\frac{\mu_0 q I \rho^2}{4 a \tau} \vec{e}_z$$

$$\frac{d\omega}{dt} = \frac{\Gamma}{J} = -\frac{\mu_0 q I \rho^2}{4 m a^3 \tau}$$

$$\Rightarrow \omega(t) = -\frac{\mu_0 q I \rho^2}{4 m a^3 \tau} t$$

$$0 < t < \tau$$

## 7. Transformateurs :



1. On a  $\Phi_{11} = L_1 I_1$  avec  $\Phi_{11} = \iint_{(C_1)} \vec{B}_1 \cdot d\vec{S}_1$

Calcul de  $B_1$  par un tore à  $N_1$  spires jointives : on s'inspire du solénoïde  $\infty$ .

symétries  $\vec{B} = B(r, \theta, z) \vec{e}_\theta$

( $\vec{e}_r, \vec{e}_z$ ) plan de symétrie

invariances :  $\vec{B} = B(r, z) \vec{e}_\theta$

(invariance par rotation autour de  $z$ )

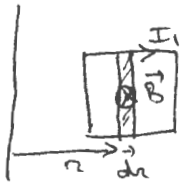


prenons un contour rectangulaire mais à  $r = \text{cte}$   
(donc axymétrie autour de  $z$ ) :  $B(r, z_1) l + 0 - B(r, z_2) l + 0 = 0$

$$\Rightarrow \underline{B(r, z) = B(r)}$$

Puis appliquons Ampère sur un cercle de rayon  $r$  et d'axe  $z$  :  
on trouve facilement qu'en dehors du tore  $\vec{B} = \vec{0}$ .

Dans le tore :  $\oint \vec{B} \cdot d\vec{P}' = \mu_0 N_1 I_1 \Rightarrow B(r) \cdot 2\pi r = \mu_0 N_1 I_1 \Rightarrow \underline{B_1 = \frac{\mu_0 N_1 I_1}{2\pi r} \vec{e}_\theta}$



$$\Phi_{11} = \int_{R-a}^{R+a} \frac{\mu_0 N_1 I_1}{2\pi r} \vec{e}_\theta \cdot \underbrace{2a dr \vec{e}_\theta}_{d\vec{S}} \cdot N_1$$

$N_1$  spires sur  $(C_1)$   
donc flux  $\times N_1$ .

$$= \frac{\mu_0 N_1^2 a I_1}{\pi} \mu_r \frac{R+a}{R-a}$$

Alors  $\underline{L_1 = \frac{\mu_0 N_1^2 a}{\pi} \mu_r \frac{R+a}{R-a}}$  . De même  $\underline{L_2 = \frac{\mu_0 N_2^2 a}{\pi} \mu_r \frac{R+a}{R-a}}$

2. Pour la mutuelle  $M$  :  $\Phi_{21} = M I_1 = \iint \vec{B}_2 \cdot d\vec{S}_1$   
ou  $\Phi_{12} = M I_2 = \iint \vec{B}_1 \cdot d\vec{S}_2$

ici  $\vec{B}_2 = \frac{\mu_0 N_2 I_2}{2\pi r} \vec{e}_\theta$  car les 2 enroulements sont quasi confondus.

$$\Phi_{21} = \int_{R-a}^{R+a} \frac{\mu_0 N_2 I_2}{2\pi r} \cdot \vec{e}_\theta \cdot 2a dr \vec{e}_\theta \cdot N_1 = \frac{\mu_0 N_1 N_2 I_2 a}{\pi} \mu_r \frac{R+a}{R-a}$$

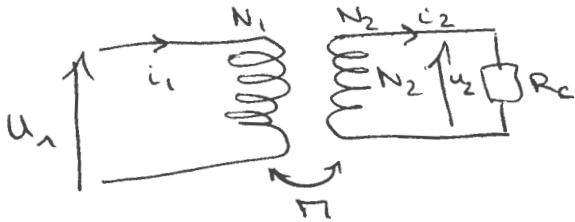
$N_1$  spires sur  $(C_1)$

$$\underline{M = \frac{\mu_0 N_1 N_2 a}{\pi} \mu_r \frac{R+a}{R-a}}$$

Rq : si  $I_2$  n'est pas dans le m<sup>^</sup> sens que  $I_1$ ,  $\vec{B}_2 = -\frac{\mu_0 N_2 I_2}{2\pi r} \vec{e}_\theta$   
et  $\underline{M' = -M}$



3.



~~Circuit 1~~ (primaire)  

$$u_1 + e_1 = R_1 i_1$$

$$= 0$$

$$i_1$$

or  $e_1 = -\frac{d\Phi_1}{dt} = -L_1 \frac{dI_1}{dt} - \pi \frac{dI_2}{dt} \Rightarrow \underline{u}_1 = jL_1 \omega \underline{I}_1 + j\pi \omega \underline{I}_2$  (1)  
 car on est en sinusoidal ici

Circuit 2 (secondaire)

$$u_2 + e_2 = (R_2 + R_c) i_2 \Rightarrow \underline{u}_2 = jL_2 \omega \underline{I}_2 + j\pi \omega \underline{I}_1 + R_c \underline{I}_2$$
 (2)

(a) circuit ouvert:  $\underline{I}_2 = 0 \Rightarrow \underline{u}_1 = jL_1 \omega \underline{I}_1$   
 $\underline{u}_2 = j\pi \omega \underline{I}_1 = \frac{\pi}{L_1} \underline{u}_1$

or  $M = \frac{\mu_0 N_1 N_2 a}{\pi} \mu_r \frac{R+a}{R-a}$  et  $L_1 = \frac{\mu_0 N_1^2 a}{\pi} \mu_r \frac{R+a}{R-a}$

donc  $\underline{u}_2 = \frac{N_2}{N_1} \underline{u}_1$  et  $\frac{N_2}{N_1} = \frac{u_2}{u_1}$  transformateur de tension.

(b) circuit court-circuité:  $R_c = 0 \Rightarrow \underline{u}_2 = 0$

donc (2):  $jL_2 \omega \underline{I}_2 + j\pi \omega \underline{I}_1 = 0 \Rightarrow \underline{I}_2 = -\frac{\pi}{L_2} \underline{I}_1 = -\frac{N_1}{N_2} \underline{I}_1$   
 transformateur de courant

(c) à l'aide de la photo:  $2a \approx 2\text{cm}$

le rayon intérieur du tore vaut  $\approx 3,2\text{cm}/2 = 1,6\text{cm}$  et  $R \approx 3,6\text{cm}$

Si les spires sont jointives sur le cœur:  $N_2 \approx \frac{2\pi \cdot 1,6 \cdot 10^{-2}}{5 \cdot 10^{-4}} \approx 200$  spires

si le diamètre du fil est de  $0,5\text{mm}$

Si les spires du primaire sont bobinées à l'intérieur du tore

le rayon intérieur est de  $1,6 - 0,05 \approx 1,55\text{cm}$

donc  $N_1 \approx \frac{2\pi \cdot 1,55 \cdot 10^{-2}}{5 \cdot 10^{-4}} = 195$  spires

Alors  $L_1 = \frac{4\pi \cdot 10^{-7}}{\pi} (195)^2 \cdot (10^{-2}) \mu_r \frac{3,6}{1,6} = 5,35 \cdot 10^{-5} \text{ H}$

$L_2 = 5,63 \cdot 10^{-5} \text{ H}$

$\pi = 5,48 \cdot 10^{-5} \text{ H}$